

单环刺螠虫变态前幼虫发育的同工酶及酶学研究

陈宗涛¹, 张志峰¹, 牛从从¹, 康庆浩²

(1. 中国海洋大学 海洋生命学院, 山东青岛 266003; 2. 韩国国立丽水大学校 水产养殖系, 全罗南道 丽水 550-749)

摘要: 对实验室条件下培养的单环刺螠虫 (*Urechis unicinctus*) 变态前幼虫发育的同工酶及酶学特性进行研究。研究中 5 种同工酶 (EST, MDH, AMY, LDH, ALP) 酶谱均随发育表现出一定的差异。EST 酶谱最为复杂, 由原肠期的 1 条酶带增至体节幼虫时期的 6 条。MDH 在发育各时期皆有表达。在原肠时期未检测到 AMY, LDH 及 ALP 活性。采用生化法对 5 种酶 (ACP, ALP, PO, POD, CatE) 的酶活测定结果显示, 随着单环刺螠虫的发育, 各种酶的活力都有明显增强。以上结果表明, 摄食行为的开始对其某些消化酶活性的表达有显著的增强作用。至中期担轮幼虫时期, 幼虫已具备了一定的对脂类等物质的消化能力。至晚期担轮幼虫及体节幼虫时期, 其免疫能力也有显著增强。

关键词: 单环刺螠虫; 幼虫; 同工酶; 酶

中图分类号: Q55 **文献标识码:** A **文章编号:** 1005-8737-(2005)03-0233-06

在动物早期发育过程中, 同工酶谱的变化与形态分化和器官形成具有相关性^[1]。动物的酶学活性是动物摄食、营养条件、生理状况的良好指标^[2]。有关同工酶和酶学的发育研究已在许多动物中作了描述^[1-5], 但有关单环刺螠虫 (*Urechis unicinctus*) 发育的同工酶和酶学研究, 尚未见报道。

单环刺螠虫俗称海肠子, 属于螠虫动物门 (Echiuroidea), 蠕纲 (Echiurida), 无管螠目 (Xenopneusta), 刺螠科 (Urechidae), 刺螠属 (*Urechis*), 是一种生活在沿海泥沙岸潮间带下区及潮下带浅水区 U 型隧道内的底栖生物。本实验利用同工酶及生物化学方法分别对单环刺螠虫早期发育过程中的同工酶和酶学进行研究, 以期为单环刺螠虫幼虫发育的营养生理学、水产养殖等提供有益的理论依据。

1 材料与方法

1.1 材料

实验用单环刺螠虫先后于 2003 年和 2004 年 4 月下旬购自青岛四方路海产品市场, 体长 15~25 cm, 外表健康无伤痕。

1.2 方法

1.2.1 实验材料的培养及获取 解剖成熟的雌雄个体, 从肾管中获取成熟生殖细胞进行人工授精。

受精卵经洗卵后转入 50 cm×30 cm×30 cm 的培养缸中培养。培养密度 (35±15) ind/mL, 水温 19~23 ℃, pH 7.88±0.02, 盐度 29±1。受精 24 h 后原肠胚孵化为担轮幼虫, 同时开始通气, 每隔 1~2 天换水 1 次。48 h 后开始投喂单细胞藻 (小球藻 *Chlorella pyrenoidosa*, 角毛藻 *Chaetoceros muelleri*, 青岛大扁藻 *Platymonas subcordiformis*, 金藻 *Isochrysis galbana*), 每天早晚各投喂 1 次。培养期间, 定期观察幼虫的发育状况。本次实验取原肠胚、早期担轮幼虫 (消化道刚打通, 尚未摄食)、中期担轮幼虫 (摄食后生长 15~25 d)、晚期担轮幼虫 (幼虫下半球伸长, 体节幼虫前 10 d 以后) 和体节幼虫 (体节出现至附着生活以前) 共 5 个发育时期的样品, 分别于 -30 ℃ 下贮存备用 (早期担轮幼虫以后需经 48 h 的空胃)。

1.2.2 酶学测定 取冰冻的各期幼虫 0.1 g, 按下述方法 (表 1) 进行生化指标测量, 每组实验重复 3 次。

实验结果用 SPSS11.5 软件进行 one-way ANOVA 统计分析。在 $P = 0.05$ 水平上进行差异显著性检验, $P < 0.05$ 者认为有显著差异, 反之则无。

收稿日期: 2004-11-22; 修订日期: 2005-01-14。

基金项目: 国家自然科学面上基金 (30271039); NSFC-KOSEF 国际合作项目资助。

作者简介: 陈宗涛 (1978-), 男, 硕士研究生, 主要从事海洋动物发育生物学研究。E-mail: chenzongtao1978@hotmail.com

通讯作者: 张志峰。Tel: 0532-2031647。E-mail: zdpl07@ouc.edu.cn

表1 实验所测酶的种类及测定方法
Tab.1 Enzymes and biochemical methods

测定成分 Enzymes	方法 Methods
碱性磷酸酶(AlP)	磷酸苯二钠比色法 ^[1]
酸性磷酸酶(ACP)	磷酸苯二钠比色法 ^[2]
过氧化物酶(POD)	Worthington 法 ^[3]
酚氧化酶(PO)	Dopa 比色法 ^[4]
羧酸酯酶(CarE)	Hirose 法 ^[5]

1.2.3 同工酶 取冰冻的各期幼虫 0.1 g, 加入甘油-磷酸缓冲液(pH 6.8)3~4 滴, 冰浴下匀浆, 匀浆液于 4 ℃ 下离心 10 min(10 000 r/min), 取上清液直接电泳。

采用不连续聚丙烯酰胺凝胶垂直平板电泳法进行同工酶分析。分离胶质量分数为 7%~12%, 凝胶缓冲液为 Tris-cit pH 8.9; 浓缩胶质量分数为 3%, 凝胶缓冲液为 Tris-cit pH 6.8; 电极缓冲液为 pH 8.3 的 Tris-Gly, 采用 DYY-IIIA 型恒温稳压电泳仪进行电泳, 电压 200 V, 4 ℃ 下电泳 8~10 h。

显色方法参照文献[3], 个别略加改动。显色后的胶片固定于 7% 的冰醋酸中。Nikon-E4500 数码相机拍照。

酶谱示意图参考胡能书等^[6]的方法绘制。酶带的编号参照国际生物化学命名规则而定, 以向阳极泳动最快的酶带编号为 1, 如 EST-1, 并从阳极到阴极依次编号。

2 结果与分析

2.1 变态前 5 种同工酶随发育的变化

2.1.1 酯酶(Esterase, EST) 在单环刺螠虫早期发育过程中, EST 酶谱最为复杂, 共 6 条酶带(图 1-①)。其中原肠期只有 1 条, 为 EST-4(二级窄带); 孵化后(早期担轮幼虫), 增至 4 条, 分别为 EST-2(二级窄带)、EST-3(三级窄带)、EST-5(二级窄带)、EST-6(一级窄带); 摄食后(中期担轮幼虫), 除上述 4 条酶带外, 又新产生了 EST-1(二级窄带), 且 EST-2(一级窄带)、EST-3(二级窄带)活性有所增强, EST-5 变为一级宽带; 至晚期担轮幼虫和体节幼虫, 在上述 5 条酶带的基础上, 又新产生了 1 条酶带 EST-6(三级窄带)。

2.1.2 淀粉酶(Amylase, AMY) 单环刺螠虫在变

态前各早期发育过程中, AMY 共显示出 5 条酶带(α -1、 α -2、 β -1、 β -2、 α -3)(图 1-②), 未检测出 R 及 Q 型淀粉酶。除在原肠期未检测到有 AMY 活性外, 在其余 4 期中, 酶带由早期担轮幼虫时期的 1 条 α -2(二级窄带)增至晚期担轮幼虫和体节幼虫时期的 5 条: α -1(三级窄带)、 α -2(一级宽带)、 β -1(三级窄带)、 β -2(二级窄带)、 α -3(一级窄带)。

2.1.3 苹果酸脱氢酶(Malate dehydrogenase, MDH) MDH 为二聚体酶, 分为线粒体型(m-MDH)和细胞质型(s-MDH)。在单环刺螠虫早期发育过程中, 原肠期和早期担轮幼虫时期只有 1 条, 为 MDH-4(一级宽带)。摄食后谱带数增多, 至体节幼虫, 共有 4 条谱带: MDH-1(三级窄带)、MDH-2(三级窄带)、MDH-3(二级窄带)和 MDH-4(一级窄带)。其中, MDH-3、MDH-4 为 m-MDH, 活性较强, MDH-1、MDH-2 为 s-MDH, 活性较弱(图 1-③)。

2.1.4 乳酸脱氢酶(Lactate dehydrogenase, LDH)

LDH 在原肠期、早期急中期担轮幼虫时期未有表达, 而在晚期担轮幼虫及体节幼虫时期共显示出 4 条酶带, LDH-1(二级线性带)、LDH-2(二级窄带)、LDH-3(二级宽带)、LDH-4(二级线性带)(图 1-④)。

2.1.5 碱性磷酸酶(Alkaline phosphatase, ALP)

ALP 在单环刺螠虫早期发育过程中表达较为简单(图 1-⑤)。在原肠期及早期担轮幼虫时期未检测到 ALP 活性, 在其余 3 期中 ALP-3 活性较强, ALP-1 与 ALP-2 为扩散带。

2.2 单环刺螠虫变态前 5 种酶随发育的酶学变化

2.2.1 碱性磷酸酶(ALP)(图 2) 单环刺螠虫孵化前已经具有一定的 ALP 活性。随发育进行, 酶活性持续增强。早期担轮幼虫时期, ALP 活性虽有一定增强, 但未见明显差异。摄食后一段时间(中期担轮幼虫), 活性明显增强。至晚期担轮幼虫及体节幼虫时期, 已达到较高水平。

2.2.2 酸性磷酸酶(Acid phosphatase, ACP)(图 3)

晚期担轮幼虫之前(原肠、早期担轮幼虫及中期担轮幼虫时期), ACP 活性增长较为平缓。晚期担轮幼虫及体节幼虫则有了明显的增强。

2.2.3 酚氧化酶(Phenol oxidase, PO)(图 4) 摄食前(原肠及早期担轮幼虫时期), PO 活性较低。

中期担轮幼虫时期有了一定的增强, 至晚期担轮幼虫及体节幼虫时则有了明显升高。

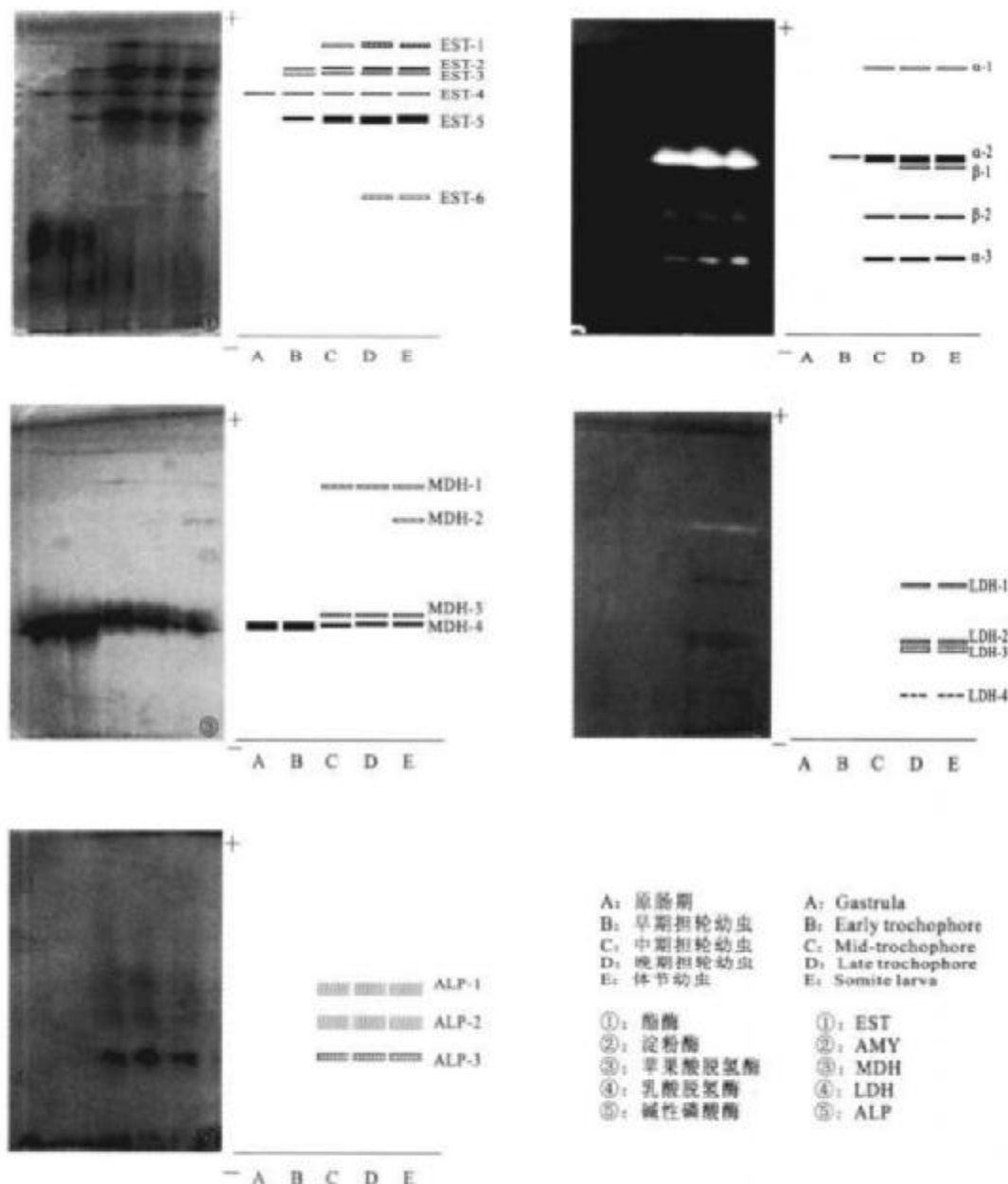


图1 单环刺螠虫不同发育时期5种同工酶图谱

■示酶带色深,为一级带; ▨示酶带色浅,为二级带; ▨示酶带色极浅,为三级带; ▨示扩散带,同时每一级酶带又可根据酶带的宽度分为宽带、窄带及线性带("-----"表示)3类。

Fig.1 Electropherograms of isozymes during development of *Urechis unicinctus*

Shows deep isozyme band(the first-level band); ▨ Shows light isozyme band(the second-level band); ▨ Shows extremely light isozyme band(the third-level band); ▨ Indicates the diffused isozyme band. According to the breadth, the enzyme band can be divided into three types; the wide band, the narrow band and the linear band(showed by "-----").

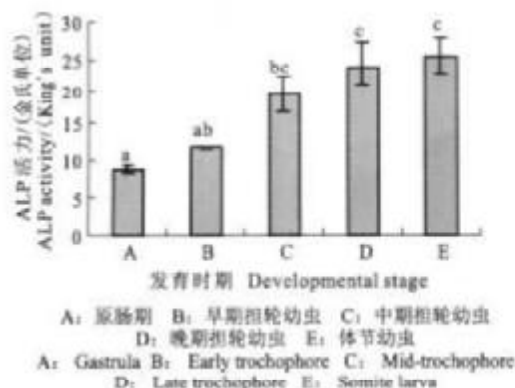


图2 碱性磷酸酶活性随发育时期的变化

Fig.2 Variation of AMP activity with development

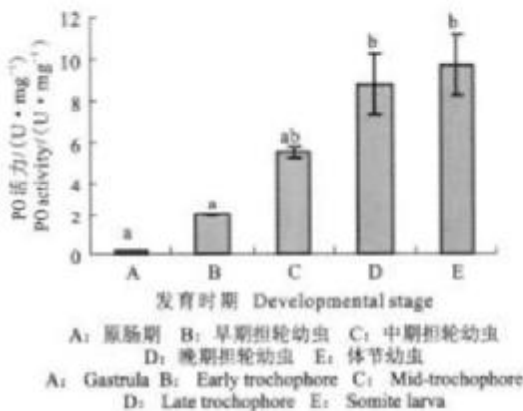


图4 酚氧化酶活性随发育时期的变化

Fig.4 Variation of PO activity with development

2.2.4 过氧化物酶(Peroxidase, POD)(图5) 晚期担轮幼虫以前, POD活性增长较为平缓。晚期担轮幼虫及体节幼虫时期, 其活性显著增高。

2.2.5 羧酸酯酶(Carboxylesterase, CarE)(图6) 摄食前(原肠及早期担轮幼虫时期), CarE活性较低。中期担轮幼虫时期有了一定的增长, 晚期担轮幼虫及体节幼虫则增长至较高的水平。

3 讨论

在单环刺螠的早期发育过程中, EST、AMY、LDH等同工酶谱逐渐复杂, 这种变化在一定程度上反映了发育过程中细胞的分化。

从本实验的结果来看, 单环刺螠在早期发育过程中酯酶和淀粉酶的同工酶谱均有一定变化, 这

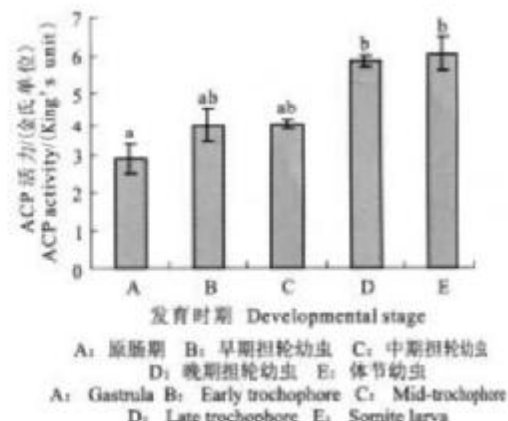


图3 酸性磷酸酶活性随发育时期的变化

Fig.3 Variation of ACP activity with development

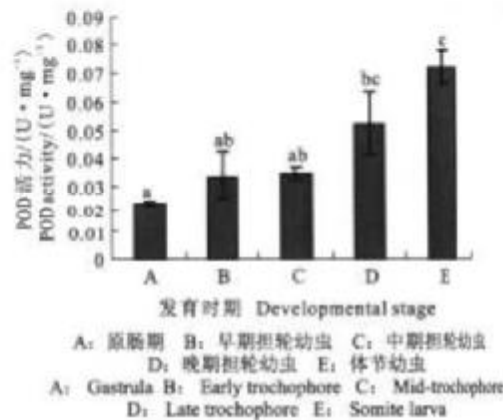


图5 过氧化物酶活性随发育时期的变化

Fig.5 Variation of POD activity with development

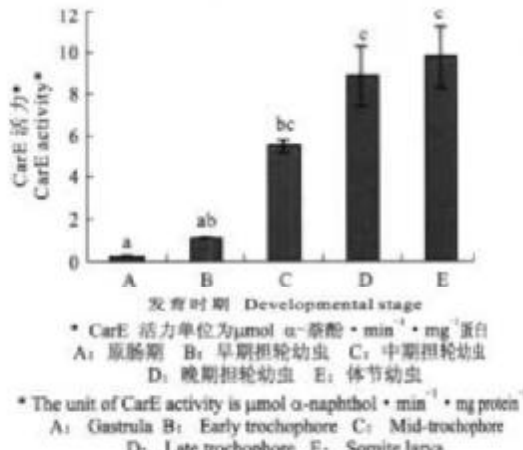


图6 羧酸酯酶活性随发育时期的变化

Fig.6 Variation of CarE activity with development

说明其体内的脂类和碳水化合物代谢随发育有所改变,同时也反映出个体发育对这两类物质需求的不同。根据蒋晓华等^[3]对滇池高背鲫鱼早期胚胎发育期间MDH同工酶的研究,一些MDH同工酶在早期发育阶段是持续表达的,而也有些MDH同工酶仅在某一发育阶段存在。持续表达的酶,可能执行的是最基本的代谢功能。吴力钊等^[10]对同工酶的类型进行了划分,认为在成体组织中较广泛分布,在未受精卵及整个早期发育阶段持续存在的同工酶类,在生物体中担负重要的生理功能,属于管家酶范畴。本实验中的MDH-3属于此范畴,且活性表达较强。碱性磷酸酶是含锌的异型二聚体糖蛋白,活性中心含有丝氨酸。其广泛分布于生物体内,参与机体的脂类和离子等转运活动。本实验中,ALP同工酶谱带较为简单,且只在摄食后的3个时期有所表达,这说明摄食对单环刺螠虫幼虫ALP同工酶的表达有关键的激活作用。LDH是参与糖代谢的重要酶,属多基因位点同工酶,且此酶与生物环境的含氧量有一定关联。在本实验中,LDH同工酶只在晚期担轮幼虫及体节幼虫时期有所表达。这说明,单环刺螠虫幼虫到晚期担轮幼虫时期在呼吸及糖代谢功能上有了显著增强。

与目前已报道的无脊椎动物(主要集中于虾、蟹等物种)早期发育过程中同工酶的研究结果比较^[1-2,4-5],单环刺螠虫在ALP、MDH等同工酶的表达上数量较少,这也在一定程度上显现了此种生物在进化及分类地位上的原始性。

本实验对单环刺螠虫酶活的生化测定表明,随幼虫发育,其各酶活性都有一定增强。摄食前,5种酶活虽有一定升高,但未见显著差异,此时幼虫生活完全依赖卵黄物质。摄食后,至中期担轮幼虫时期,碱性磷酸酶及羧酸酯酶活性有明显提高。已有报道,碱性磷酸酶活性和脂类、葡萄糖、钙以及无机磷的吸收存在正相关关系^[11],而羧酸酯酶活性的强弱可以间接反映对脂类物质的消化和吸收状况^[11-12]。说明此时幼虫对脂类等物质的消化吸收水平明显增强。酸性磷酸酶是高等动物体内巨噬细胞溶酶体的标志酶,在体内直接参与磷酸基团的转移和代谢,且具有防御和消化的双重作用^[13]。过氧化物酶与细胞膜的保护及细胞衰老有关,同时可将代谢中产生的H₂O₂水解,起到解毒等免疫作用^[14],酚氧化物酶更是在无脊椎动物中起着重要的免疫作用^[15]。后2

种酶活,直至晚期担轮幼虫及体节幼虫时期,才表现出显著的增高,这说明单环刺螠虫幼虫的免疫能力直至此时才真正得到加强。

综上所述,摄食行为的开始对单环刺螠虫早期发育过程中某些消化酶活性的表达有显著的增强作用。但其免疫能力直至晚期担轮幼虫及体节幼虫才得到显著加强。至体节幼虫时期,其已在消化及免疫方面,为即将到来的附着变态打下了良好的基础。

参考文献:

- [1] 朱春华,李广丽,黄荣莲,凡纳对虾个体发育早期的同工酶研究[J].热带海洋学报,2004,23(1):51-57.
- [2] Gracia-Ortega A, Verreth J A J, Coutureau P, et al. Biochemical and enzymatic characterization of decapsulated cysts and nauplii of the brine shrimp *Artemia* at different developmental stages [J]. Aquaculture, 1998, 161: 501-514.
- [3] Ni-Nakorn U. Isozyme variation among four species of the otterfish genus *Clarias* [J]. Journal of Fish Biology, 2002, 60 (4): 1051-1057.
- [4] Zheng Shuning, Wu Qing. A Study of Isozymes in *Eriocheirus sinensis*, Got and Mdh [J]. Chinese Science Abstracts Series B, 1995, 14 (1): 22.
- [5] 张志峰,马英杰,廖承义,等.中国对虾幼体发育阶段的同工酶研究[J].海洋学报,1997,19(4):63-71.
- [6] 冯仁丰.实用医用检验学[M].上海:上海科学技术出版社,1996.
- [7] 倪星忠.临床生化酶试剂方法[M].上海:华东师范大学出版社,1993.
- [8] 胡能书,万贤国.同工酶技术及其应用[M].长沙:湖南科学技术出版社,1985.
- [9] 蒋晓华,周德东.滇池高背鲫鱼早期胚胎发育期间苹果酸脱氢酶(MDH)同工酶的分析[J].云南大学学报(自然科学版),1997,19(4):383-387.
- [10] 吴力钊,王祖熊.草鱼同工酶发育遗传学研究 I. 早期发育过程中的同工酶分析[J].遗传学报,1987,14(5):387-394.
- [11] Tengjaroenkul B, Smith B J, Cececi T, et al. Distribution of intestinal enzyme activities along the intestinal tract of cultured Nile tilapia, *Oreochromis niloticus* L. [J]. Aquaculture, 2000, 182: 317-327.
- [12] Hirji K N, Courtney W A M. Nonspecific carboxylic esterase activity in the digestive tract of the perch, *Perca fluviatilis* L. [J]. J Fish Biol, 1983, 22: 1-7.
- [13] 牛海津,江晓路,刘树青,等.免疫多糖对栉孔扇贝酸性磷酸酶、碱性磷酸酶和超氧化物歧化酶活性的影响[J].青岛海洋大学学报,1999,29(3):463-468.
- [14] 方允中,李文杰.自由基与酶[M].北京:科学出版社,1989.
- [15] Kallaya S, Kenneth S. The proPO and clotting system in tenebrionids[J]. Aquaculture, 2000, 191: 53-69.

Isozymic and biochemical study on development of pre-metamorphic larva in *Urechis unicinctus*

CHEN Zong-tao¹, ZHANG Zhi-feng¹, NIU Cong-cong¹, Kyoung-Ho KANG²

(1. College of Marine Life Science, Ocean University of China, Qingdao 266003, China; 2. Department of Aquaculture, Yonsei National University, Yoesu 550-749, South Korea)

Abstract: Usually, *Urechis unicinctus* can be found at the sublittoral zone and low area of tideland. In this work, the isozymic and biochemical characteristics of *U. unicinctus* larvae before metamorphosis were studied using the technique of polyacrylamide gel vertical plate electrophoresis and the method of biochemistry. The adult *U. unicinctus* individuals were collected from seafood market of Qingdao during the reproductive season. After a short period of laboratory temporal breeding, the gametes were obtained from the nephridium by dissection, and the artificial semination was performed. The larvae were reared in 50 cm × 30 cm × 30 cm tanks. There were totally 5 larval stages used in this experiment, including gastrula, early trochophore (the digestive canal was just formed and the larvae did not feed), mid-trochophore (15–25 d after feeding), late trochophore (10 d before somite larva) and somite larva (from the formation of somite to the settlement). In the biochemical experiment, the results were analyzed by one-way ANOVA test using SPSS11.5 ($P=0.05$).

The results showed that, all 5 isozymes became complicated with the larval development. EST was the most complicated, increasing from 1 band at gastrula stage to 6 bands at somite larva stage. AMY showed totally 5 enzyme bands, but only α -AMY and β -AMY were found. MDH consisted of two types of isozyme, m-MDH and s-MDH. In this experiment, 4 MDH enzyme bands were found. Thereinto, MDH-3 and MDH-4 were m-MDH, which showed a strong activity. MDH-1 and MDH-2 belonged to s-MDH, and the stain of these two bands was light. At gastrula, early trochophore and mid-trochophore stages, LDH showed no activity. At late trochophore and somite larva stages, 4 enzyme bands could be tested. ALP isozymes showed a comparatively simple electropherogram, and only 3 bands were found at mid-trochophore, late trochophore and somite larva stages. Furthermore, the biochemical study of ACP, ALP, PO, POD and CarE indicated that, the contents of all these 5 enzymes grew higher during early development. Before hatching, the gastrula presented certain ALP activity, until the mid-trochophore, when the activity evidently increased. At gastrula, early trochophore and mid-trochophore stages, the ACP activity was comparatively low, and at the last 2 stages presented a distinct increase. PO activity increased comparatively gently with larvae development. After the late trochophore, the POD activity showed an evident enhancement. As to the CarE, the enzyme activity increased distinctly after mid-trochophore.

During the early development of *U. unicinctus*, the isozyme electropherograms became more and more complicated. This change can reflect the cell differentiation. As the initiation of feeding, most of the isozyme electropherograms showed a certain increase in the quantity of enzyme band, such as the EST, AMY and ALP. And all these 3 enzymes had a certain function in digestion. Totally, these 5 isozymes revealed comparatively simple electropherograms, and this might correlate to the primitivity of the species. The biochemical results inferred that, at the mid-trochophore, the digestive ability in lipid became higher than before, and the immunocompetence of late trochophore and somite larva was obviously enhanced. All the above results indicate that the feeding behavior plays an important role in stimulating the enzymatic activity quantitatively and qualitatively.

Key words: *Urechis unicinctus*; larva; isoenzyme; enzyme

Corresponding author: ZHANG Zhi-feng. E-mail: zzfp107@ouc.edu.cn